

# 室内空気分布に関する各種数値解析法の比較

赤坂 裕・莊 達民

(受理 平成5年5月31日)

## Comparison of Various Numerical Methods for the Analysis of Indoor Air Distribution

Hiroshi AKASAKA and Damin ZHUANG

Finite difference schemes for the convective term of the governing equations of fluid flow have a great influence on the computational time, accuracy and stability of the numerical solution. In this paper, Up-Wind, Hybrid, PLDS, QUICK, Optimal and Approximate LODA Schemes are used to compute the turbulent flow in a 3-D room. The computational time consumptions to reach the convergence of the flow are compared with each other. Several time steps are set to the Schemes to get faster convergence.

The results are as follows:

- (1) The computed flow patterns are reasonably coincide with the experimental results.
- (2) Quick Scheme and New Quick Scheme have the higher accuracy with shorter computational time.
- (3) The selection of suitable time step for each Scheme can greatly decrease the time consumption for the computation.

### 1. はじめに

大型汎用計算機で室内気流分布を解析し、時間前進ステップ、差分スキームが計算精度、計算速度に与える影響を調べた。基本プログラムには“NISTIR 89-4211”に登録された“EXACT”<sup>1)</sup>を利用したが、差分スキームは、現在国内、外でよく使われる差分スキームをまとめて比較を行った。

### 2. 非定常一次元微分方程式および差分近似式

差分スキームを入れ換えることに着目すると、運動方程式、 $k, \epsilon$ 方程式などは式(1)で表示される。

$$\frac{\partial}{\partial t}(\rho\phi) + \frac{\partial u\phi}{\partial x} = \Gamma \frac{\partial^2 \phi}{\partial x^2} + S \quad (1)$$

式(1)の $\phi$ はそれぞれ運動方程式、 $k, \epsilon$ 方程式、エネルギー方程式の $u, k, \epsilon, \theta$ を代表する。一方、パタンカーによる全流束<sup>2)</sup>は次のように表示される。

$$J_x = u\phi - \Gamma_\phi \frac{\partial \phi}{\partial x} \quad (2)$$

式(2)を式(1)に代入して、図1に示すコントロール・ボリュームで積分すると、MAC法の差分近似式は次のようになる。

$$(\phi_i^{n+1} - \phi_i^n)/\Delta t = [f(\phi_i)]^n \quad (3)$$

$$f(\phi_i) = \frac{J_w - J_e}{\Delta x} + (S_c + S_i\phi_i) \\ = \frac{(u_w\phi_w - a_w(\phi_i - \phi_{i-1})) - (u_e\phi_e - a_e(\phi_{i+1} - \phi_i))}{\Delta x} + S_c + S_i\phi_i \quad (4)$$

ここで $n$ は時間ステップを示す。 $a_w, a_e$ は拡散流束項 $-\Gamma_\phi \frac{\partial \phi}{\partial x}$ を離散化した後の同一形係数を示す。 $S_c, S_i$ は全流束以外の項を代表する。

これまでに、数値計算の定安性を改善し精度を上げるために、いろいろな差分スキームが開発されている<sup>2,3,4,5)</sup>。それらは、対流項中の $\phi_w, \phi_e$ を修正する差分スキーム、拡散項係数 $a_w, a_e$ を修正する差分ス

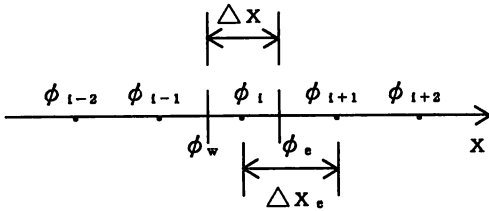


図 1 1次元コントロール・ボリューム

キーム、および対流項中の  $\phi_w, \phi_e$  と拡散項係数  $a_w, a_e$  を同時に修正する差分スキームに分類される。以上のそれぞれについて、本報告で扱う差分スキームをまとめることにする。なお、ここでは  $\phi_e, a_e$  を対象としてその表示式を以下にまとめたが、 $\phi_w, a_w$  の表示式は  $\phi_e, a_e$  の表示式と同じ形で、 $(i-1)$  の位置だけずれている。すなわち、 $\phi_w = \phi_e(i-1)$ 、 $a_w = a_e(i-1)$  等と表現できる。各式の  $D_e, D_w$  は拡散コンダクタンス ( $D = \Gamma/\Delta x$ ) で、常に正である。また  $P_e, P_w$  はベクレ数 ( $P_e = u_e/D_e$ ) で、流れの方向により正負いずれも取り得る。〈 〉 はこの中に含まれる最大値を取ることを表す。また、2次元と3次元の場合も、差分近似式及び同一形係数の誘導は上記の方法と全く同じであるが、その詳細は省略した。

## 2. 1 対流項中の $\phi_w, \phi_e$ を修正する差分スキーム

### a) 風上法 (UPWIND法)<sup>2)</sup> :

対流項に対して風上差分を適用する場合を考える。例えば、 $\frac{\partial u \phi}{\partial x}$  をコントロール・ボリュームで離散化すると、次のようになる。

$$\left. \begin{array}{l} u_e > 0, u_w > 0 \text{ の場合} \\ \phi_e = \phi_i \\ a_e = D_e \\ u_e < 0, u_w < 0 \text{ の場合} \\ \phi_e = \phi_{i+1} \\ a_e = D_e \end{array} \right\} \quad (5)$$

式(5)を対流項に代入すれば次のようになる。

$$(u\phi)_e = u_e \frac{\phi_E + \phi_P}{2} - |u_e| \frac{\phi_E - \phi_P}{2} \quad (6)$$

式(6)の右辺第2項がなければ中心差分<sup>2)</sup>となる。この場合、 $|u|$  の値によってはパタンカーの正係数法則<sup>2)</sup>を満たさない可能性があり、計算が不安定になる。言い換えれば、風上法では、式(6)の第2項のように数値的に粘性を加えて計算の安定化を図っている。一方、

計算の安定化を図る代償として、計算誤差が生じる。計算誤差は流れと座標軸がなす角度が増加するに従って大きくなる。

### b) オリジナル QUICK法 (Quadratic Upstream Interpolation for Convective Kinematics)<sup>3)</sup> :

$$\left. \begin{array}{l} u_e > 0, u_w > 0 \text{ の場合} \\ \phi_e = \frac{\phi_i + \phi_{i+1}}{2} - 0.125 (\phi_{i-1} - 2\phi_i + \phi_{i+1}) \\ a_e = D_e \\ u_e < 0, u_w < 0 \text{ の場合} \\ \phi_e = \frac{\phi_i + \phi_{i+1}}{2} - 0.125 (\phi_i - 2\phi_{i+1} + \phi_{i+2}) \\ a_e = D_e \end{array} \right\} \quad (7)$$

QUICK法は風上差分のような数値粘性の発生を緩和するために、Leonardによって開発されたスキームであり、コントロール・ボリューム界面における値を前後の定義点における値を用いた2次曲面で近似する手法である。

### c) 新 QUICK法<sup>4)</sup> :

新 QUICK法は Hayase らが内挿係数の異なる QUICKスキームを分析する上で、差分近似式をパタンカーの四つの基本ルール<sup>2)</sup>にしたがって誘導し、さらに、差分近似式をオリジナル QUICK法と一致するようにまとめた。新 QUICK法の最大の利点は SIMPLE法<sup>2)</sup>で流れ分布を解析する時、境界条件が簡単に処理できる点である。

$$\left. \begin{array}{l} u_e > 0, u_w > 0 \text{ の場合} \\ \phi_e = \phi_i + 0.125 (-\phi_{i-1} - 2\phi_i + 3\phi_{i+1}) \\ a_e = D_e \\ u_e < 0, u_w < 0 \text{ の場合} \\ \phi_e = \phi_{i+1} + 0.125 (3\phi_i - 2\phi_{i+1} - \phi_{i+2}) \\ a_e = D_e \end{array} \right\} \quad (8)$$

### d) 新 QUICK法+近似 LODA法<sup>5)</sup>

QUICK法がパタンカーの四つの基本ルールを満足しても、under-shootによって振動が発生することがある。この場合、差分スキームを1次精度風上差分スキームに入れ換えると安定な解析ができるが、数値粘性の影響が無視できない。この影響を最少限に抑えるためには、LODA法<sup>5)</sup> ( $\phi_e^{LODA} = \gamma_e \phi_e^{QUICK} + (1 - \gamma_e) \phi_e^{UPWIND}$ ) のような差分スキームを用いるほうがよい。ここでは、新 QUICK法について、式(9)のように式(8)の  $\phi_e$  の式に重み係数  $\alpha$  を追加して  $0 \leq \alpha \leq 1$  の値を与え、LODA法の加重係数  $\gamma_e$  (関数) の役割を担当させることにした。

$$\left. \begin{aligned} &u_e > 0, u_w > 0 \text{ の場合} \\ &\phi_e = \phi_i + 0.125 \times \alpha (-\phi_{i-1} - 2\phi_i + 3\phi_{i+1}) \\ &u_e < 0, u_w < 0 \text{ の場合} \\ &\phi_e = \phi_{i+1} + 0.125 \times \alpha (3\phi_i - 2\phi_{i+1} - \phi_{i+2}) \end{aligned} \right\} (9)$$

$\alpha = 0$  の場合は 1 次精度風上差分スキーム,  $\alpha = 1$  の場合は新 QUICK 法に一致する。なおオリジナル QUICK 法についても以上のような扱いをすることが望ましいが, ここではそのような計算例は取り上げなかった。

#### e) OPTIMAL スキーム<sup>6)</sup>

松尾らによって開発された高精度差分スキームである。温度, 濃度等に関するスカラー輸送方程式の差分解を求める場合, 計算域の大半で生産項が 0 となることが多く, 高精度差分スキームを用いることが望ましい。OPTIMAL スキームは解析セルベクレ数の絶対値が 2 以下の場合には中心差分を, それ以上では QUICK 法を経由して最終的には 2 次精度風上となるように, 内挿法の風上成分への重みを対流作用の強さに応じて連続的に調整する。ここでは, 傾斜流れを計算する際, OPTIMAL スキームを利用する。

$u_e > 0, u_w > 0$  の場合

$$\phi_e = \frac{\phi_i + \phi_{i+1}}{2} - CF_e (\phi_{i-1} - 2\phi_i + \phi_{i+1})$$

$$a_e = D_e$$

$u_e < 0, u_w < 0$  の場合

$$\phi_e = \frac{\phi_i + \phi_{i+1}}{2} - CF_e (\phi_i - 2\phi_{i+1} + \phi_{i+2}) \quad \} (10)$$

$$a_e = D_e$$

ただし,

$$CF_e = \max \left( 0, \frac{1}{2} - \frac{1}{|P_{le}|} \right)$$

$$|P_{le}| = 0 \rightarrow CF_e = 0$$

### 2. 2 拡散項係数 $a_w, a_e$ を修正する差分スキーム

#### a) ハイブリッド法<sup>2)</sup>:

中心差分法と 1 次精度風上差分スキームを組み合わせる方法である。1 次精度風上差分スキームは計算の安定性が優れているが, 計算精度は他の差分スキームより劣る。一方, 中心差分は計算精度が高いけれども, セルベクレ数の絶対値が 2 を超えると計算が不安定になる。ハイブリッド法はこの二つを組み合わせた方法であり, 格子セルのベクレ数が 2 以下の場合には中心差分となり, 2 以上の場合には拡散をゼロとした風上差分

に転換される。

$$\left. \begin{aligned} &\phi_e = \phi_{i+1/2} \\ &a_e = D_e \left\langle -P_e, 1 - \frac{P_e}{2}, 0 \right\rangle \end{aligned} \right\} (11)$$

b) ベキ乗法 (Power Law Differencing Scheme)<sup>2)</sup>:  
ハイブリッド法では, セルベクレ数の絶対値が 2 を超えると中心差分が風上差分に転換されるが, ベキ乗法ではこの点が改良され, セルベクレ数の絶対値が 2 を超えると風上差分に漸近する。

$$\left. \begin{aligned} &\phi_e = \phi_{i+1/2} \\ &a_e = D_e \left( \langle 0, (1 - 0.1 |P_e|)^5 \rangle + \langle -P_e, 0 \rangle \right) \end{aligned} \right\} (12)$$

### 2. 3 対流項中の $\phi_w, \phi_e$ と拡散項係数 $a_w, a_e$ を同時に修正する差分スキーム

例えば計算精度が QUICK 法に匹敵する EXQUISITE 法<sup>7)</sup>等があるが, 本報では検討を省略する。

### 3. 差分スキームと時間進行ステップによる計算精度, 計算時間

村上<sup>8)</sup>, 鎌田・倉淵<sup>9)</sup>らは差分スキームによる計算精度の比較を行った。ここでは差分スキームに加えて時間進行ステップが計算精度, 計算時間に与える影響を調べる。

利用する計算機を表 1 に示す。図 2, 3 に計算対象

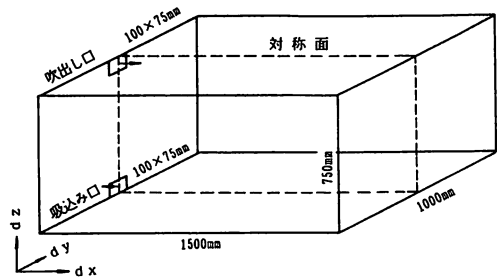


図 2 3次元室内空間と座標系

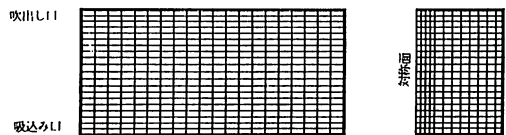


図 3 計算域メッシュの分割 (22×13×22)

表1 利用される計算機の性能の比較

	鹿児島大学	九州大学
計算機型式	IBM 3090-18S	FACOM VP2600/10
主記憶容量	128MB	512MB
システム記憶		1GB
処理速度	21.3MIPS	5GFLOPS (スカラー演算時80MIPS相当)

表2 境界条件および初期値

吹出し口:水平流(1) 傾斜流(2)	$U_w=1.0$ $U_r=0.0$ $k=0.002$ $l=0.1$ $U_w=0.5$ $U_r=0.866$ $k=0.002$ $l=0.1$
吸込み口: (1)に対応する (2)に対応する	$U_w=-1.0$ $U_r=0.0$ $k, \epsilon$ : free slip $U_w$ : 圧力型の流出境界条件
固定壁	$U_w=0.0$ $U_r$ : 1/7 th power profile
対称面	$U_w=0.0$ $U_r$ : free slip $k, \epsilon$ : free slip

の3次元室内空間と座標および計算域のメッシュの分割を示す。表2に初期値および境界条件を示す。表3に差分スキームの組み合わせおよび計算時間等を示す。表3のケース1~7の計算は鹿児島大学情報センターの大型汎用計算機で行ったが、ケース8の計算のみは九州大学スーパーコンピュータで行った。

### 3. 1 時間進行ステップ $\Delta t$ の決め方

普通、時間進行ステップ  $\Delta t$  の値は対流と拡散項の計算安定性によって決められる。 $\Delta t$  は、計算の収束性、計算精度、計算時間に大きな影響を与えるから、最適な  $\Delta t$  を選ぶ必要がある。

流れの数値的安定性解析において、FTCS<sup>10)</sup>法による  $\Delta t$  の最大値は次のように表示される。

$$\Delta t \leq \frac{2}{\frac{2\Gamma}{\Delta x^2} + \frac{u}{\Delta x}} \quad (13)$$

無次元速度  $u \leq 1$ 、本計算の拡散係数  $\Gamma \leq 0.05$  の上限値を式(13)に代入すると、式(13)は次のようになる。

$$\Delta t \leq \frac{2}{\frac{2 \times 0.05}{\Delta x^2} + \frac{1}{\Delta x}} = \frac{2\Delta x^2}{0.1 + \Delta x} \quad (14)$$

図3の不等間隔メッシュの分割では、最小メッシュの間隔が0.1であり、これを式(14)に代入するとわかるように、本計算の  $\Delta t$  の最大値は0.1程度である。

### 3. 2 水平流の場合

$\Delta t$  の影響を調べるため、ケース1では計算が終わるまで  $\Delta t$  を0.01に固定させる。ケース2, 3, 4で

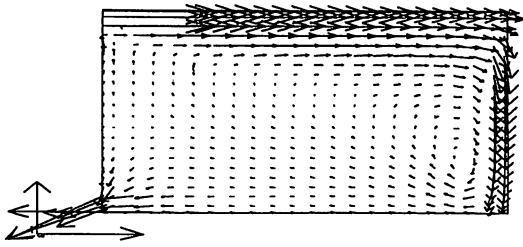
は  $\Delta t$  を計算の CYCLE 数によって変化させる。最初の13000 CYCLE では流れ場が形成中であると仮定し、ケース1, 2, 3, 4とも  $\Delta t = 0.01$  を設定する。図4, 5, 6, 7のa)にそれぞれ CYCLE=13000,  $\Delta t = 0.01$ , ケース1, 2, 3, 4の速度ベクトル図を表示する。ケース1, 2は差分スキームが同じ(内挿式が違う)であるから、流れのパターンも全く同じである。ケース3, 4の場合、セルバケレ数の絶対値が10を超えると差分スキームが同じになるから、流れのパターンはほとんど同じである。CYCLE=13000を起点として、ケース2, 3, 4の  $\Delta t$  を0.05に増大させ、3000 CYCLE を追加計算した後の計算結果が図5, 6, 7のb)に示されている。一方、ケース1で  $\Delta t = 0.01$  のままにして、15000 CYCLE を追加計算した後の結果を図4のb)に示す。流れのパターンはケース2, 3, 4に近い。すなわち、ケース1で15000 CYCLE ( $\Delta t = 0.01$ ) を増す効果は近似的にケース2, 3, 4の  $\Delta t$  を5倍とし、3000 CYCLE 計算する効果と同じである。言い換えれば、ケース2, 3, 4の場合、 $\Delta t = 0.01$  を取ると計算時間が5倍増える。さらにケース3, 4, 5の  $\Delta t$  を最大の0.1に取り、6000 CYCLE を追加計算した後の収束したとみなされる計算結果を図5, 6, 7のc) (CYCLE = 22000,  $\Delta t = 0.1$ ) に示す。これに対して、ケース1の場合で収束したとみなされる計算結果を図4のc)に示す。 $\Delta t = 0.01$  であるから、45000 CYCLE 必要である。

図8はケース5、計算途中で差分スキームを入れ換えた例である。図8のa) (CYCLE = 8000, 平均  $\Delta t = 0.4125$ ) では運動方程式、 $k, \epsilon$  式とも新 QUICK 法で解析している。一方、CYCLE = 9000の前後で流れの変化が激しいから、図8のb)に示すように  $k, \epsilon$  式の差分スキームに重み係数0 (風上差分) を導入した。さらに、図8のc)では  $k, \epsilon$  式の差分スキームに重み係数0.3 (近似 LODA 法相当) を導入している。この計算では12000 CYCLE で収束解が得られた。図9は実験結果<sup>9)</sup>である。計算結果と実験結果の比較でわかるように各計算結果が  $\Delta t$  値を調整したにもかかわらず、ほぼ満足な解が得られたといえる。

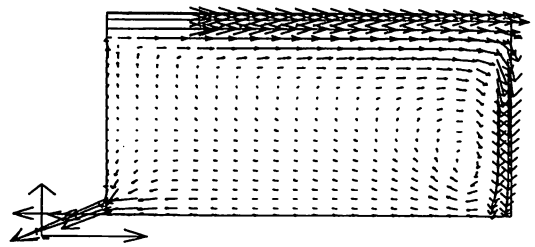
上記の計算結果をまとめると、

a) 時間進行ステップ  $\Delta t$  の選択によって計算時間を節約することができる。

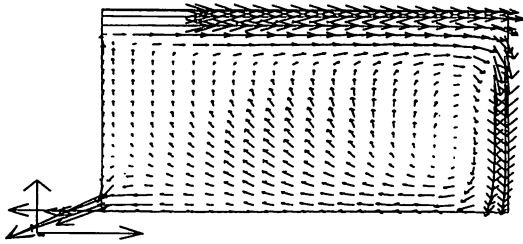
b) 各ケースの流れパターンは基本的にはほぼ同じである。すなわち対称面の流れについて述べると、壁噴流は天井面に沿って対向面に衝突した後放射状に広が



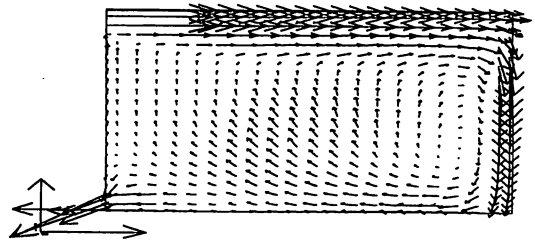
a)  $\Delta t = 0.01, \text{CYCLE} = 13000$



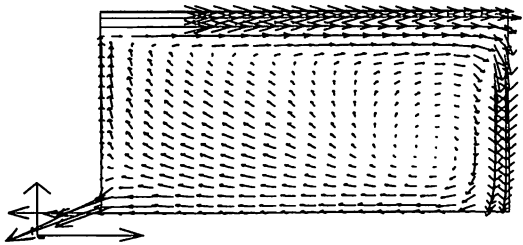
a)  $\Delta t = 0.01, \text{CYCLE} = 13000$



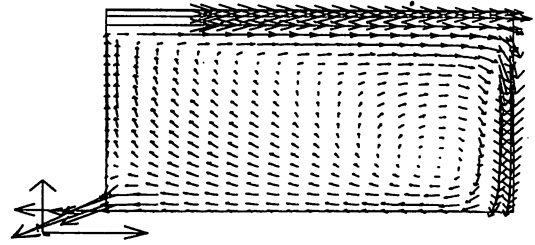
b)  $\Delta t = 0.01, \text{CYCLE} = 28000$



b)  $\Delta t = 0.05, \text{CYCLE} = 16000$



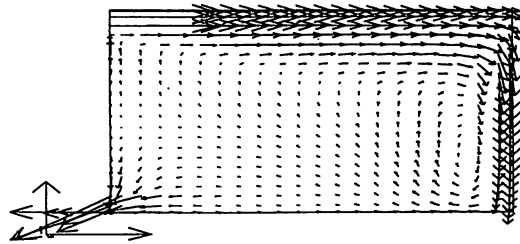
c)  $\Delta t = 0.01, \text{CYCLE} = 45000$



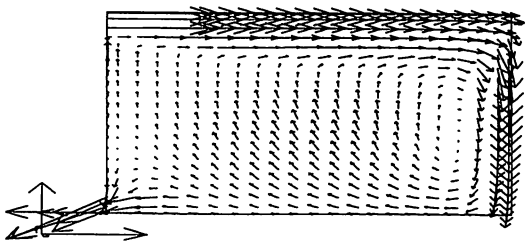
c)  $\Delta t = 0.10, \text{CYCLE} = 22000$

図4 ケース1の速度ベクトル図(Re = 25000)

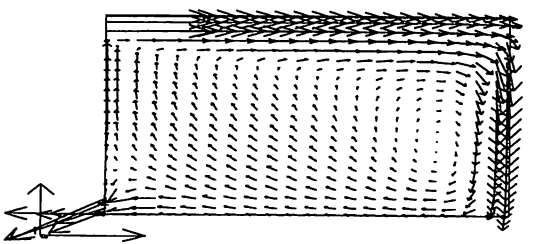
図5 ケース2の速度ベクトル図(Re = 25000)



a)  $\Delta t = 0.01, \text{CYCLE} = 13000$

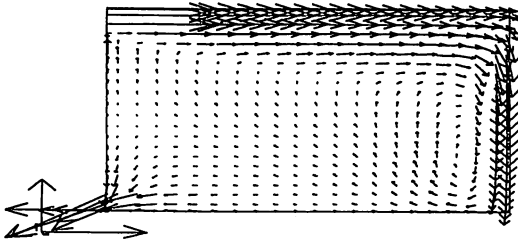
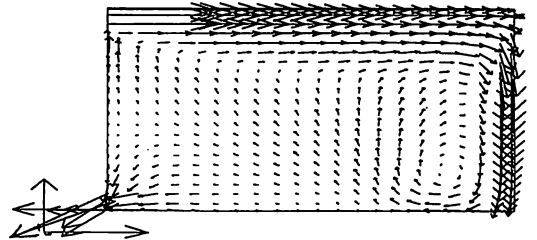
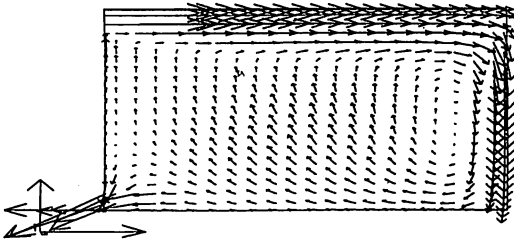
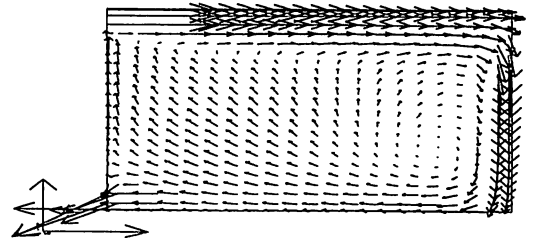
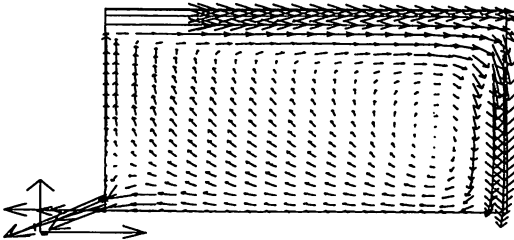
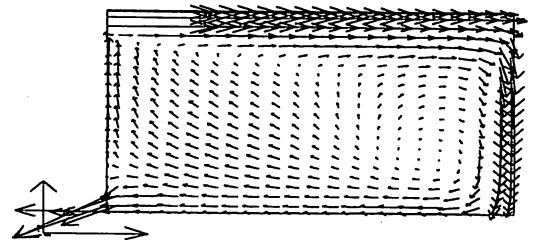


b)  $\Delta t = 0.05, \text{CYCLE} = 16000$



c)  $\Delta t = 0.10, \text{CYCLE} = 22000$

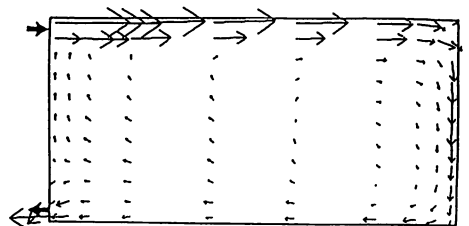
図6 ケース3の速度ベクトル図(Re = 25000)

a)  $\Delta t=0.01, \text{CYCLE}=13000$ a) 平均  $\Delta t=0.04125, \text{CYCLE}=8000$ b)  $\Delta t=0.05, \text{CYCLE}=16000$ b) 平均  $\Delta t=0.0275, \alpha=0, \text{CYCLE}=10000$ c)  $\Delta t=0.10, \text{CYCLE}=22000$ c) 平均  $\Delta t=0.05, \alpha=0.3, \text{CYCLE}=12000$ 図7 ケース4の速度ベクトル図( $Re=25000$ )図8 ケース5の速度ベクトル図( $Re=25000$ )

り下向き気流となる。床面付近では、吸い込み口に向かう気流が形成され、除々に上昇して吹き出し噴流に誘引される対角線の流れとなる。対向面の床付近を中心とし、室全体に広がる大きな時間回りの循環流が形成される。また、計算結果は実験結果に大体整合している。

c) ケース1, 2の差分近似式は同じであるから流れのパターンは同じである。ケース3, 4の運動方程式の移流項にはベキ乗法およびハイブリッド法を利用しているが、流れのパターンは類似している。一方、ケース3, 4をケース1, 2に比べると、図の右下の渦の位置がやや上に移動している。これは計算の収束性および精度がケース1, 2よりやや劣ることによると考えられる。

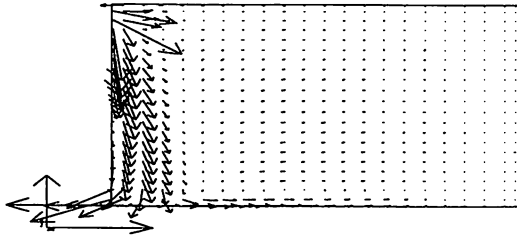
d) 新QUICK法がパタンカーの四つの基本ルールを満足しても、under-shootが発生することがある。そ

図9 実験結果<sup>9)</sup>

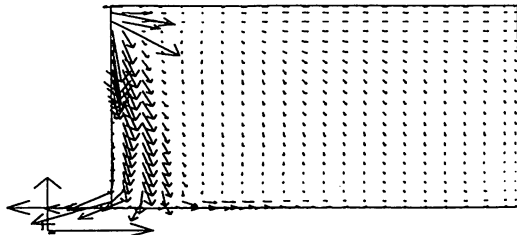
の場合、1次精度風上差分スキームまたは近似LODA法を代入すると安定な解が得られた。

### 3.3 傾斜流れの場合

エアコンの吹き出し角度による室内空気分布は省エネルギーや居住者の快適性に影響する。ここでは空気は天井と傾斜 $60^\circ$ で吹き出され、室内空間形状とメッシュの分割は図1, 2と同じであると設定している。

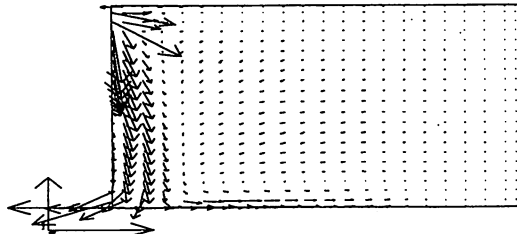


a) 平均  $\Delta t = 0.015, \text{CYCLE} = 24000$

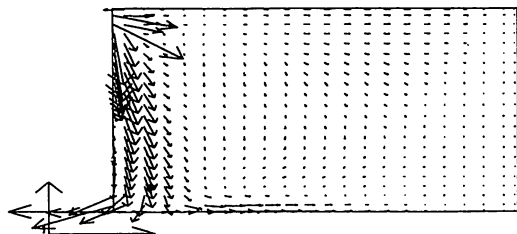


b) 平均  $\Delta t = 0.0206, \text{CYCLE} = 33000$

図10 ケース6の速度ベクトル図 ( $Re = 25000$ )



a)  $\Delta t = 0.05, \text{CYCLE} = 8000$



b)  $\Delta t = 0.05, \text{CYCLE} = 15000$

図11 ケース7の速度ベクトル図 ( $Re = 25000$ )

ケース6, 7では運動方程式の移流項の差分スキームに QUICK を採用し,  $k, \epsilon$  式の移流項にそれぞれベキ乗法と OPTIMAL スキームを採用する。図10, 11の a) はそれぞれケース6, 7の計算途中の結果である。図11 a) の計算 CYCLE 数は図10 a) の1/3程度であるが, 時間進行ステップ  $\Delta t$  は図10 a) に比べ

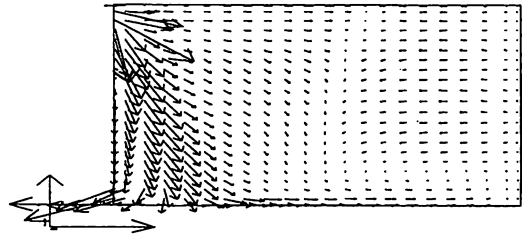


図12 ケース8の速度ベクトル図

( $\Delta t = 0.05, Re = 25000, \text{CYCLE} = 210000$ )

は約3倍程度大きく, 両図面の流れのパターンはほぼ同じである。一方, 傾斜流れ場の形成までに何回か流れのパターンに変化が表れる。図10, 11の a) では吹き出し口からの空気は吸い込み口へとショートサーキットするが, それ以外は底部に到着した後逆時計回りの循環流を形成している。図10, 11の b) では計算 CYCLE の増加に従って逆時計回りの循環流が段々時計回りの流れになっているが, 収束状態になるまでにはまだ相当の計算を要する。ケース8 (差分スキームはケース6とほぼ同じ) はスーパーコンピュータで計算した。図12にその計算結果を示す。図12のように, 計算メッシュの分割が荒い等の問題によって, 吹き出し口の対向面からの逆流がある位置で止まっている。

#### 4. 差分スキームによる計算時間の比較

上記の計算結果でわかるように, ケース1~4とも計算の安定性は優れている。しかし, 計算にかかる時

表3 各ケースの差分スキーム, 吹出種類と計算時間, 計算安定度の比較

Case No.	差分スキーム		吹出種類	1000CYCLEにかか る時間 (s) <sup>1)</sup>	計算 安定 度
	運動方程式 移流項	$k, \epsilon$ 方程 式移流項			
Case 1	QUICK法	ベキ乗法	水平吹出	1.0 (鹿大) <sup>2)</sup>	良好
Case 2	新QUICK法	ベキ乗法	水平吹出	1.035 (鹿大)	良好
Case 3	ベキ乗法	Hybrid法	水平吹出	1.592 (鹿大)	良好
Case 4	Hybrid法	Hybrid法	水平吹出	1.458 (鹿大)	良好
Case 5	新QUICK法	新QUICK法 + 近似LODA法	水平吹出	0.96 (鹿大)	普通
Case 6	QUICK法	ベキ乗法	傾斜流れ	0.993 (鹿大)	良好
Case 7	新QUICK法	OPTIMAL法	傾斜流れ	1.456 (鹿大)	良好
Case 8	新QUICK法	ベキ乗法	傾斜流れ	0.0962(九大) <sup>3)</sup>	良好

注: 1) Case1の2188(S)/1000CYCLEを基準とする。

2) 鹿大は鹿児島大学大型汎用コンピュータ IBM 3090-18Sで計算する。

3) 九大は九州大学スーパーコンピュータ FACOM VP2600で計算する。

間が差分スキームによってかなり異なる。表3に各ケースの繰り返し計算ステップが1000 CYCLE ごとに要する計算時間等を示した。ケース3はケース1に比べれば、計算時間が1.6倍ぐらいかかり、計算精度も多少落ちる。またケース3の計算時間がかかるのは、差分スキームにIF文やベキ乗計算が多く、代数式のQUICK法より計算時間がかかるからである。ケース6, 7を比較すると、ケース7の方が計算時間が多くかかっている。しかし、ケース6, 7とも途中で計算を打ち切っているために、計算精度に対する差分スキームの影響の比較は行わなかった。

一方、ケース6と8は差分スキームが殆ど同じであって、それぞれ汎用大型計算機とスーパーコンピュータで計算されているため、計算機による計算速度を比較することができる。ケース8の計算速度はケース6の10倍程度である。

#### ま と め

1. 水平吹き出しには汎用計算機で十分に計算できる。吹き出し口から流れが傾斜的に入る場合は汎用計算機では計算時間がかかり、スーパーコンピュータを使う方がよい。

2. 差分スキームによる計算精度、計算速度の影響を調べた。QUICK法は計算精度が高いばかりでなく、反復計算にかかる計算時間も短い。

3. 時間進行ステップ $\Delta t$ は計算の安定性に影響する。一方、 $\Delta t$ の選択によって計算時間に数倍の差が生じる。本報告では、計算途中の結果を判断して適切な $\Delta t$ 値を選択しているが、今後、最適な $\Delta t$ を自動的に発生させるようにプログラムを改良する予定である。

4. 傾斜流れの計算ではメッシュの分割などが計算精度に影響を与える。差分スキームや計算メッシュの分割を含めた研究が必要である。

#### 謝 辞

“EXACT”プログラムの使用に当たり東京理科大学倉淵講師から貴重な助言を頂いた。本研究の一部は鹿児島大学工学部と(株)大気社技術研究所との共同研究として行われた。

#### 参 考 文 献

1) T. Kurabuchi and J. B. Fang: A NUMERICAL METHOD FOR CALCULATING INDOOR AIRFLOWS USING A TURBULENCE MODEL,

NISTIR 89-4211, 1989

- 2) スハス V. パタンカー原著、水谷幸夫・香月正司訳：コンピュータによる熱移動と流れの数値解析、森北出版、1985年
- 3) B. P. Leonard : A STABLE AND ACCURATE CONVECTIVE MODELLING PROCEDURE BASED ON QUADRATIC UPSTREAM INTERPOLATION, COMPUTER METHODS IN APPLIED MECHANICS AND ENGINEERING, 19, 59-98, 1979
- 4) T. Hayase, J. A. C. Humphrey, and R. Greif : A Consistently Formulated QUICK Scheme for Fast and Stable Convergence Using Finite-Volume Iterative Calculation Procedures, JOURNAL OF COMPUTATIONAL PHYSICS 98, 108-118, 1992
- 5) J. ZHU and M. A. LESCHZINER : A LOCAL OSCILLATION-DAMPING ALGORITHM FOR HIGHER-ORDER CONVECTION SCHEMES, COMPUTER METHODS IN APPLIED MECHANICS AND ENGINEERING, 67, 355-366, 1988
- 6) 松尾他：移流・拡散方程式の高精度差分近似法に関する研究（その1）、OPTIMALスキームの開発およびLODA, ULTRA-SHARPスキームとの比較検討、建築学会学術講演梗概集, pp. 489-490, 1992年
- 7) B. P. Leonard : A SURVEY OF FINITE DIFFERENCES WITH UPWINDING FOR NUMERICAL MODELLING OF THE INCOMPRESSIBLE CONVECTIVE DIFFUSION EQUATION, Computational Techniques in Transient and Turbulent Flow, Vol. 2, 1-35, Pineridge Press Limited Swansea U. K. 1981
- 8) 村上他：移流項差分における一次精度風上, QUICK, 中心差分スキーム等の比較検討(2), 日本建築学会計画系論文報告集, 第390号, 1988年
- 9) 室内空気分布の数値予測法の実用化に関する研究：研究代表者、鎌田、元康、平成元年～3年度科学研究費補助金（一般研究B）研究成果報告書、1991年
- 10) P. J. Roache, 高橋亮一他（訳）：コンピュータによる流体力学（上、下）、構造研究刊、企画センター、1970年